



bigtest

# Obsah

1	Test	4
2	Document 1	5
3	Apendix 2 - Mapy a grafy	6

# 1 Test

Thus, I came to the conclusion that the designer of a new system must not only be the implementer and first large-scale user; the designer should also write the first user manual.

The separation of any of these four components would have hurt T<sub>E</sub>X significantly. If I had not participated fully in all these activities, literally hundreds of improvements would never have been made, because I would never have thought of them or perceived why they were important.

But a system cannot be successful if it is too strongly influenced by a single person. Once the initial design is complete and fairly robust, the real test begins as people with many different viewpoints undertake their own experiments.

Crossref 1: [Document 1](#)

Crossref 2: [Appendix 2 - Mapy a grafy](#)

Crossref 3: [3.1 3.1 Rozmístění nálezových míst veřejných nápisů a jejich . . . 3.33](#)  
na straně ??) představuje 27,47 % všech nápisů.

## 2 Document 1

Thus, I came to the conclusion that the designer of a new system must not only be the implementer and first large-scale user; the designer should also write the first user manual.

The separation of any of these four components would have hurt T<sub>E</sub>X significantly. If I had not participated fully in all these activities, literally hundreds of improvements would never have been made, because I would never have thought of them or perceived why they were important.

But a system cannot be successful if it is too strongly influenced by a single person. Once the initial design is complete and fairly robust, the real test begins as people with many different viewpoints undertake their own experiments.



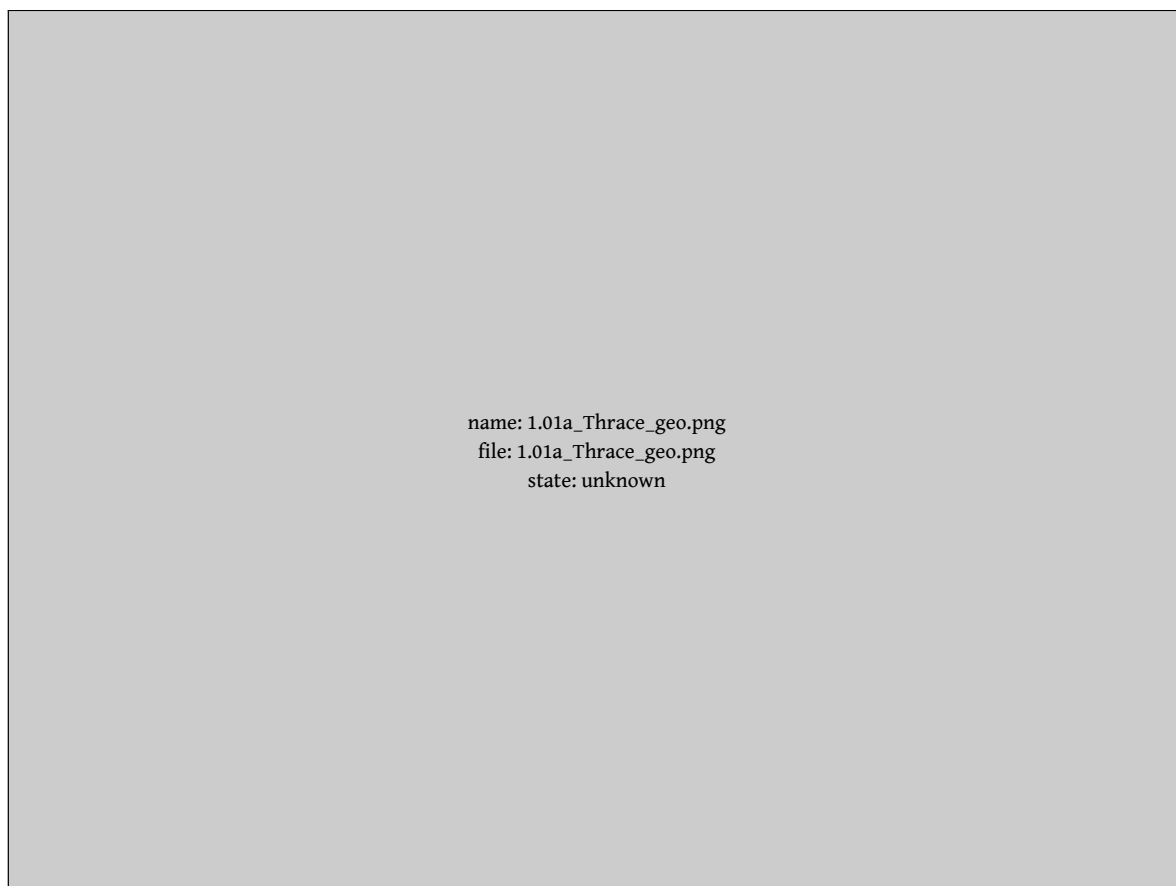
**Obrázek 2.1** Cow

### 3 Appendix 2 - Mapy a grafy

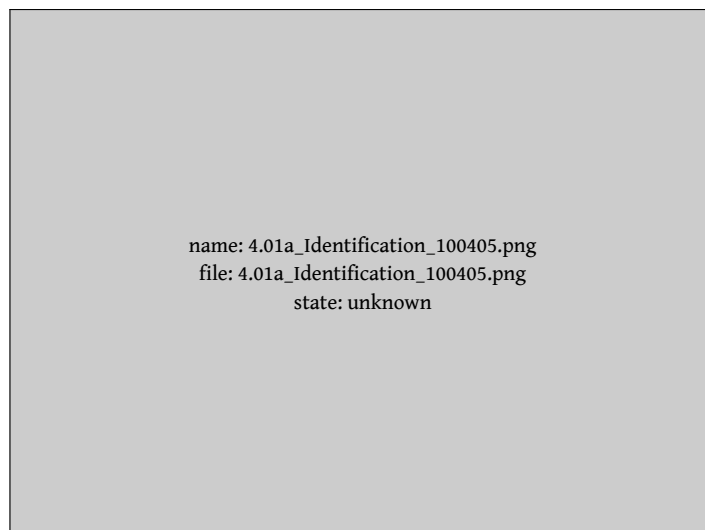
Thus, I came to the conclusion that the designer of a new system must not only be the implementer and first large-scale user; the designer should also write the first user manual.

The separation of any of these four components would have hurt T<sub>E</sub>X significantly. If I had not participated fully in all these activities, literally hundreds of improvements would never have been made, because I would never have thought of them or perceived why they were important.

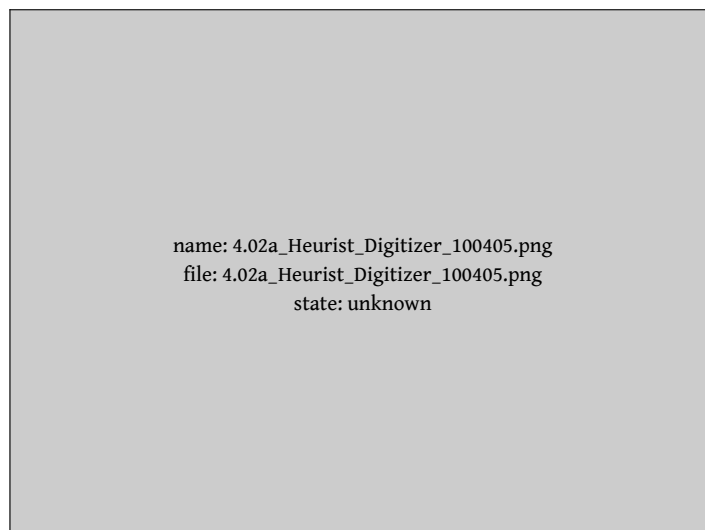
But a system cannot be successful if it is too strongly influenced by a single person. Once the initial design is complete and fairly robust, the real test begins as people with many different viewpoints undertake their own experiments.



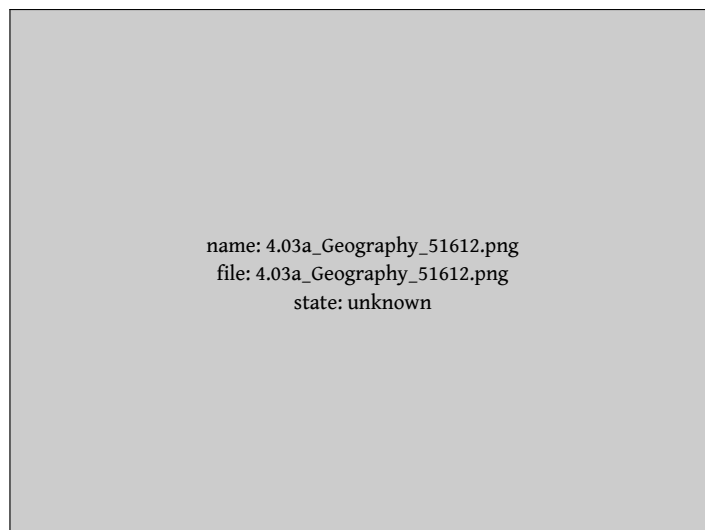
**Obrázek 3.1** Přibližné území antické Thrákie, geografický reliéf, nejvýznamnější řeky a antická města.



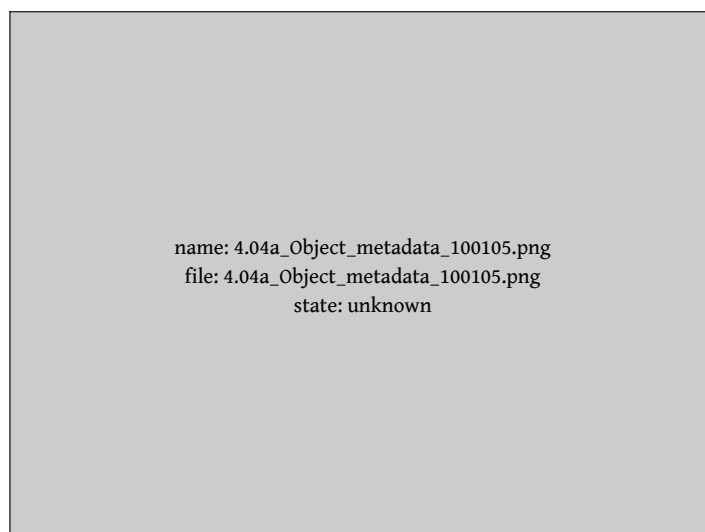
**Obrázek 3.2** Ukázka identifikačních záznamů v databázi Hellenization of Ancient Thrace, vytvořené v softwaru Heurist Scholar. Nápis SEG 49:992 = 100405.



**Obrázek 3.3** Ukázka geografického záznamu v Heurist Digitizer, nápis SEG 49:992 = 100405.




**Obrázek 3.4** Ukázka záznamu geografických dat v databázi Hellenization of Ancient Thrace, vytvořené v softwaru Heurist Scholar. Nápis IG Bulg 3,2 1612 = 51612.



**Obrázek 3.5** Ukázka záznamu dat o nosiči nápisu v databázi Hellenization of Ancient Thrace, vytvořené v softwaru Heurist Scholar. Nápis Gyuzelev 2002 3 = 100105.



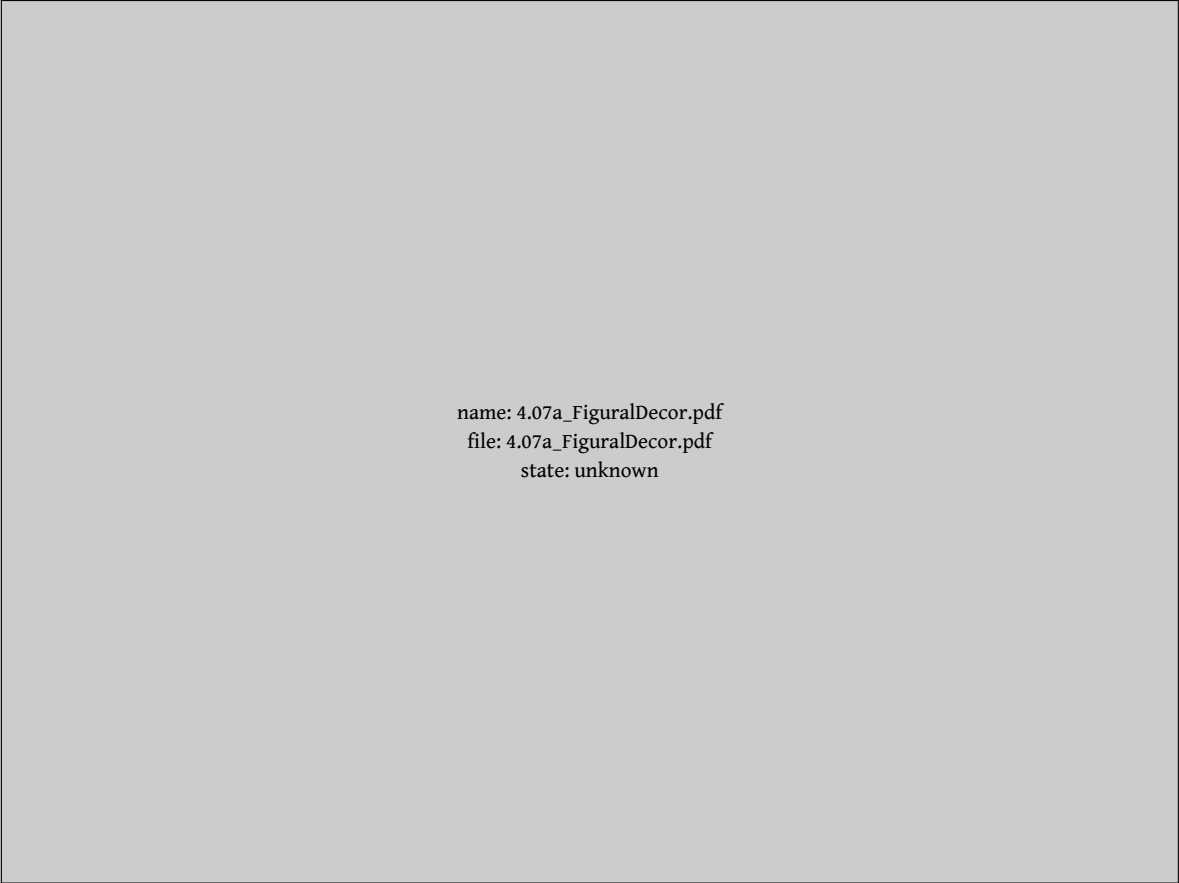


name: 4.05a\_Preservation.pdf  
file: 4.05a\_Preservation.pdf  
state: unknown

**Obrázek 3.6** Dochování nosiče nápisu spolu s ilustrativními příklady jednotlivých kategorií.



**Obrázek 3.7** Architektonická dekorace nosičů nápisů spolu s ilustrativními příklady jednotlivých kategorií.



name: 4.07a\_FiguralDecor.pdf  
file: 4.07a\_FiguralDecor.pdf  
state: unknown

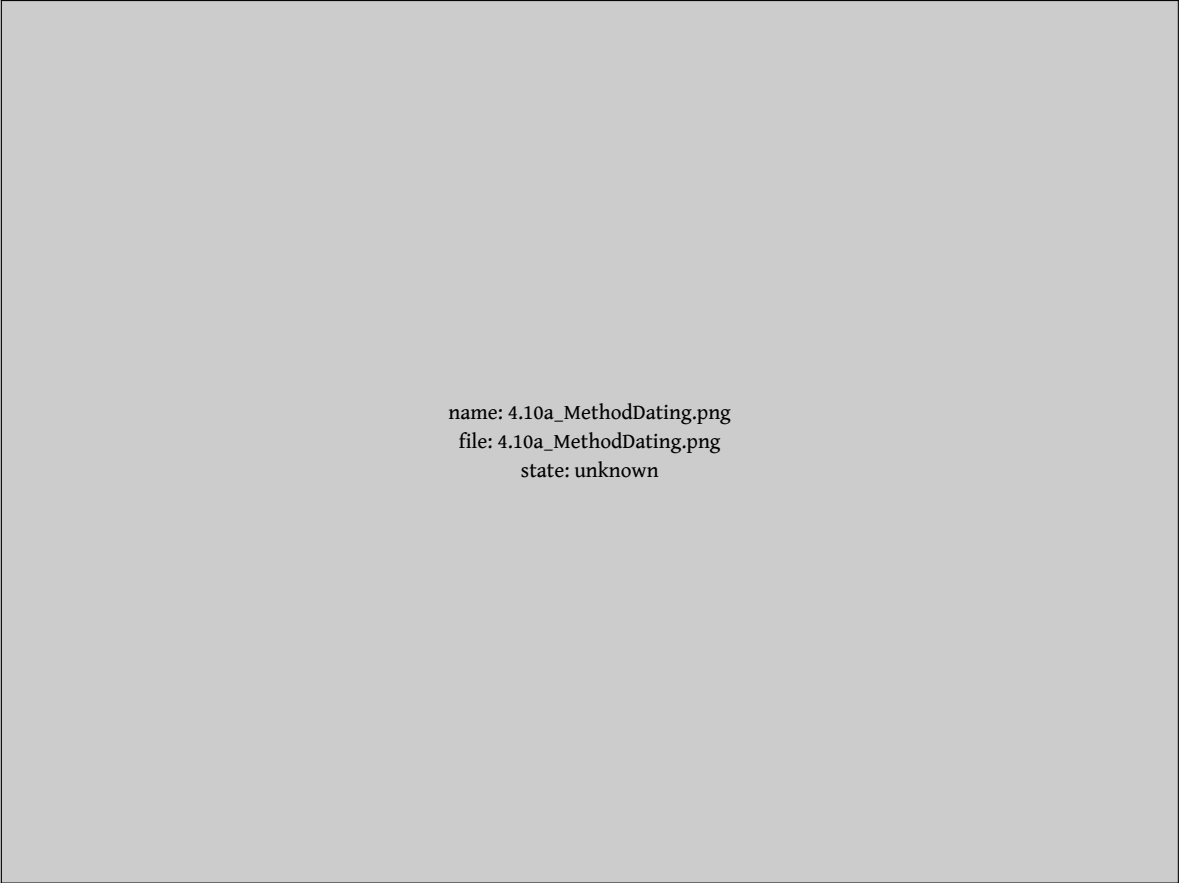
**Obrázek 3.8** Figurální dekorace nosičů nápisů spolu s ilustrativními příklady jednotlivých kategorií.



**Obrázek 3.9** Poměrné zastoupení délky intervalů datací všech 2276 datovaných nápisů.



**Obrázek 3.10** Poměr datovaných nápisů v jednotlivých stoletích s přihlédnutím k šíři jejich datace (vyjádřenou pomocí jejich koeficientů 1 - 0,12), celkem 2276 nápisů.

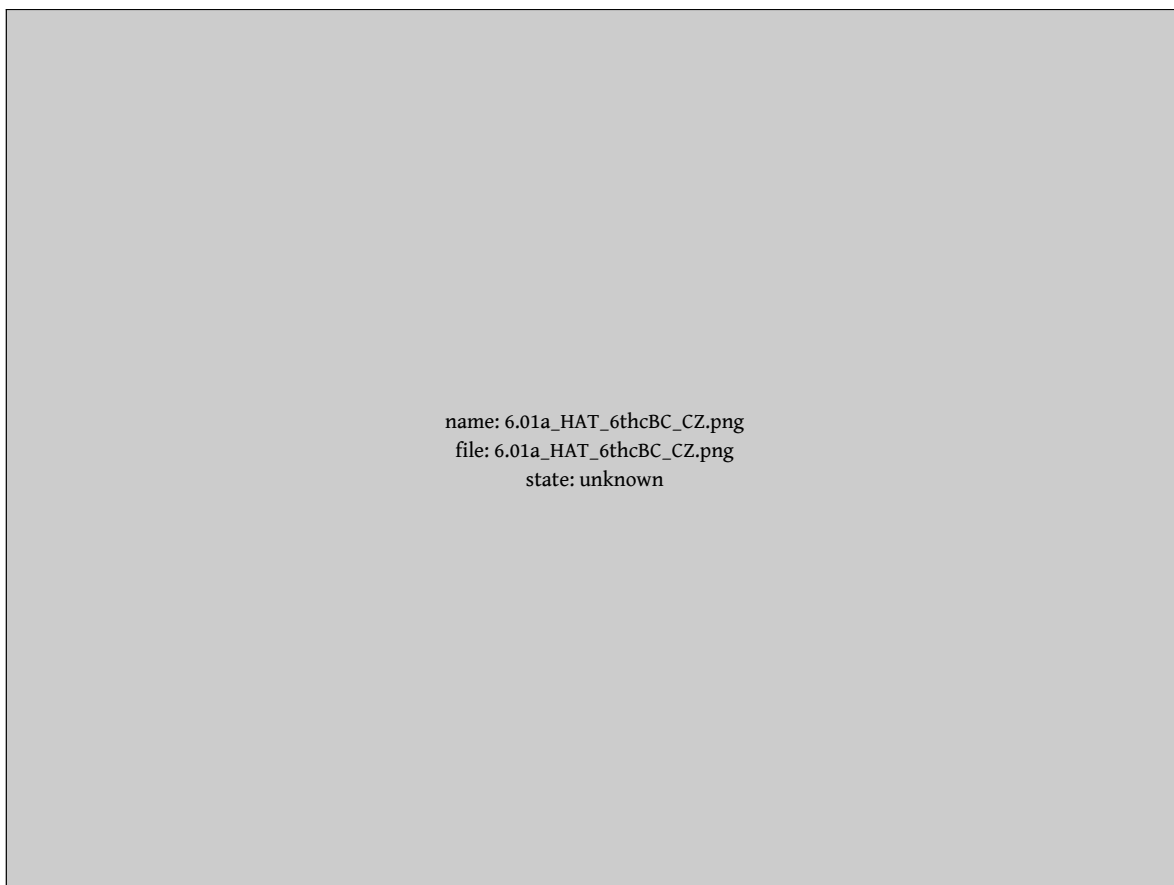


name: 4.10a\_MethodDating.png  
file: 4.10a\_MethodDating.png  
state: unknown

**Obrázek 3.11** Celková epigrafická produkce v závislosti na použití metody datování nápisů. Srovnání normalizované metody datování spolu s nenormalizovanou metodou datování nápisů.



**Obrázek 3.12** Mapa rozmístění nálezových míst nápisů obsažených v databázi *Hellenization of Ancient Thrace*. Oranžová barva ohraňuje oblast pokrývající území, z něž pocházejí nápisy. Bílá místa vyznačují oblast, z níž nejsou dostupná epigrafická data.



**Obrázek 3.13** Mapa nálezových míst nápisů datovaných do 6. a do 6. až 5. st. př. n. l.





**Obrázek 3.14** Mapa nálezových míst nápisů datovaných do 5. a do 5. až 4. st. př. n. l.



**Obrázek 3.15** Mapa nálezových míst nápisů datovaných do 4. a do 4. až 3. st. př. n. l.



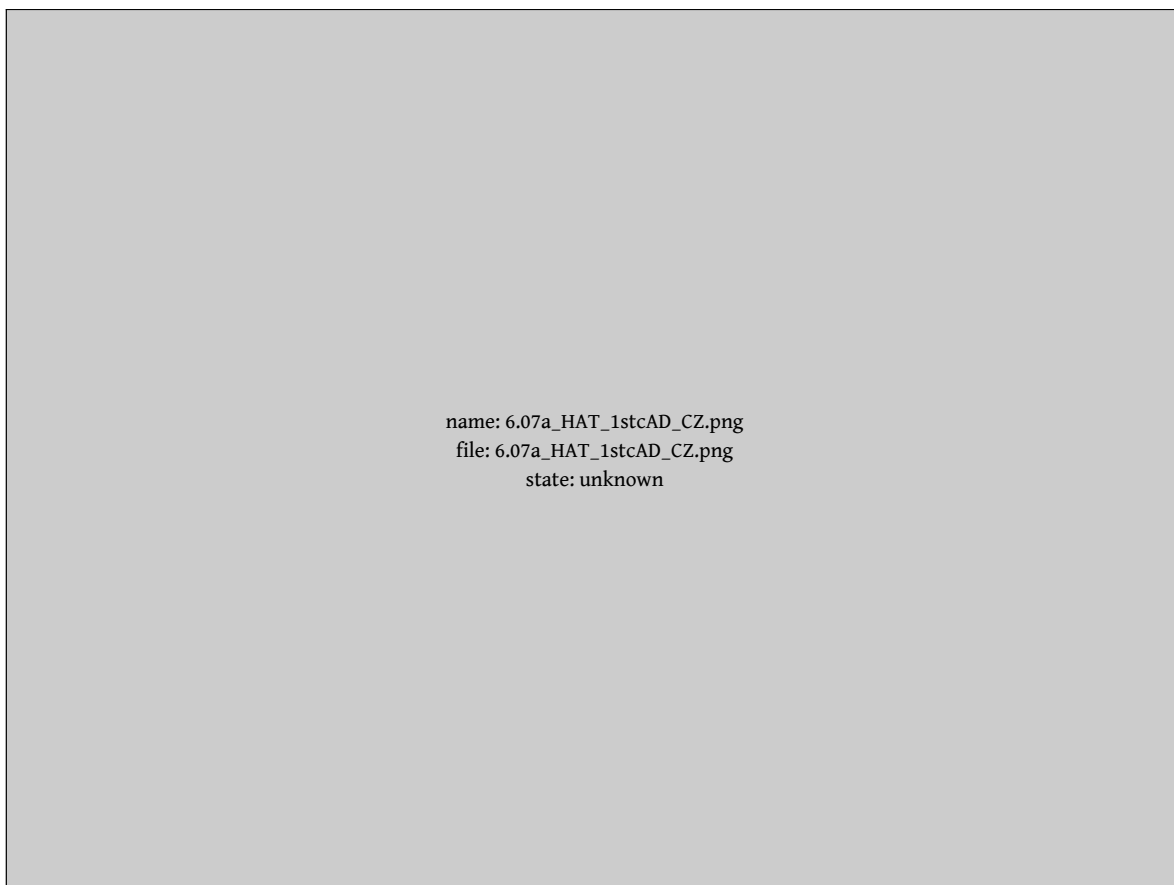
**Obrázek 3.16** Mapa nálezových míst nápisů datovaných do 3. a do 3. až 2. st. př. n. l.



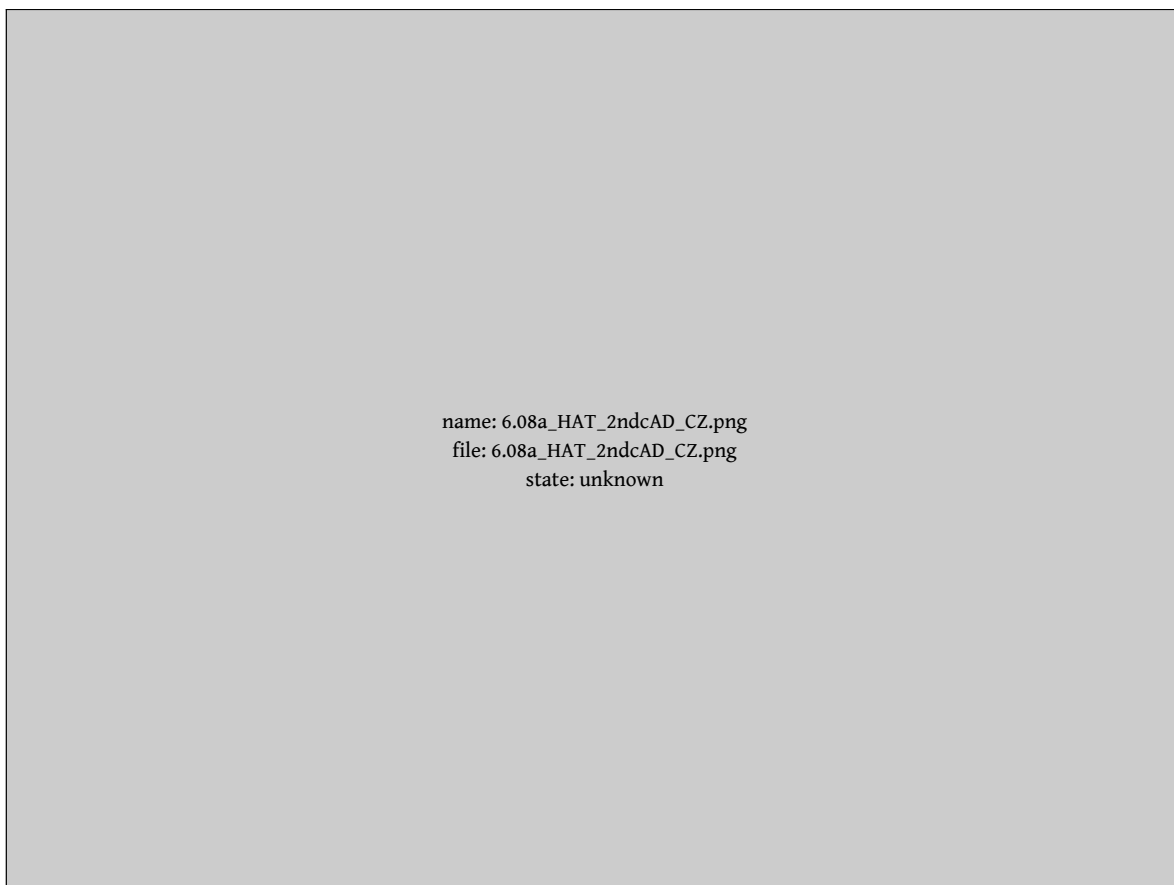
**Obrázek 3.17** Mapa nálezových míst nápisů datovaných do 2. a do 2. až 1. st. př. n. l.



**Obrázek 3.18** Mapa nálezových míst nápisů datovaných do 1. a do 1. st. př. n. l. až 1. st. n. l.



**Obrázek 3.19** Mapa nálezových míst nápisů datovaných do 1. st. n. l. a do 1. až 2. st. n. l.



**Obrázek 3.20** Mapa nálezových míst nápisů datovaných do 2. st. n. l. a do 2. až 3. st. n. l.



**Obrázek 3.21** Mapa nálezových míst nápisů datovaných do 3. st. n. l. a do 3. až 4. st. n. l.






**Obrázek 3.22** Mapa nálezových míst nápisů datovaných do 4. st. n. l. a do 4. až 5. st. n. l.

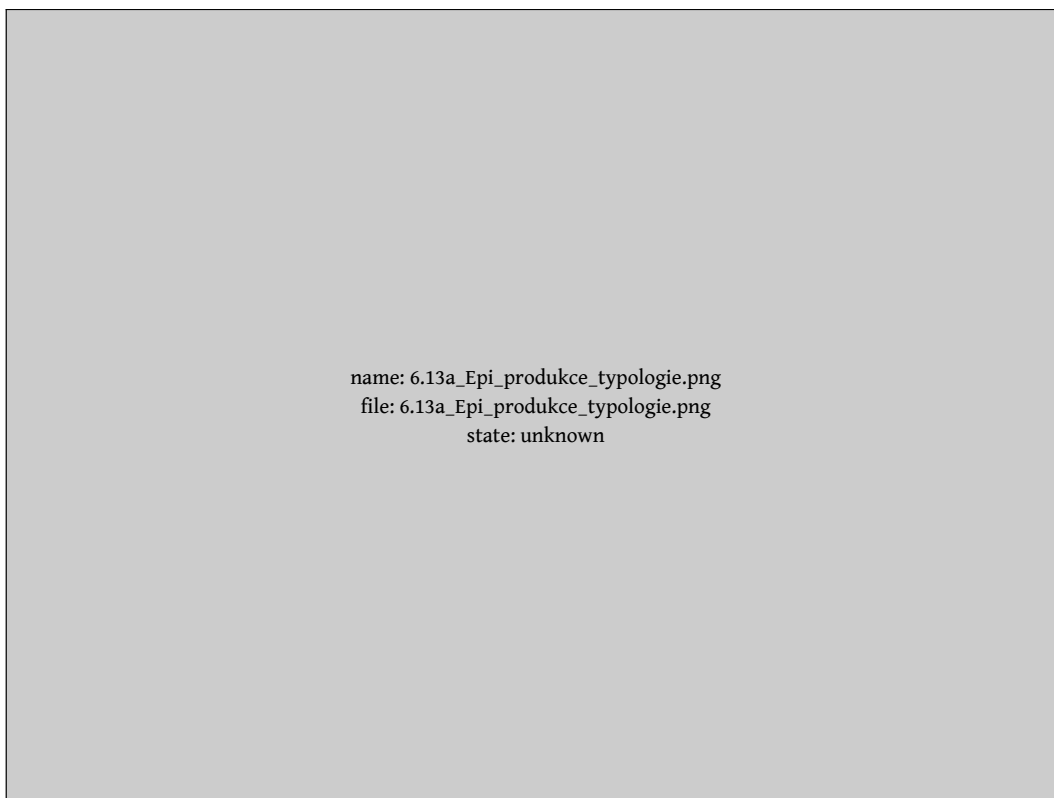


**Obrázek 3.23** Mapa nálezových míst nápisů datovaných do 5. st. n. l. a do 5. až 8. st. n. l.

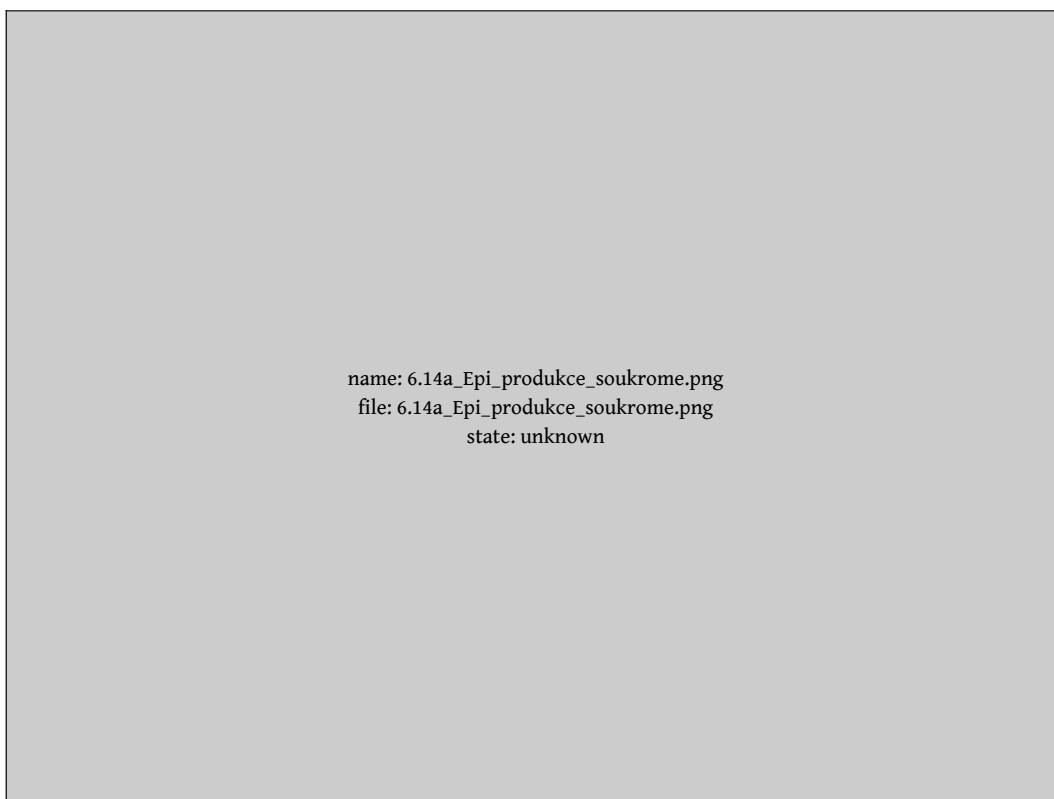


name: 6.12a\_Prehled\_produkce\_stoleti\_koeficienty.png  
file: 6.12a\_Prehled\_produkce\_stoleti\_koeficienty.png  
state: unknown

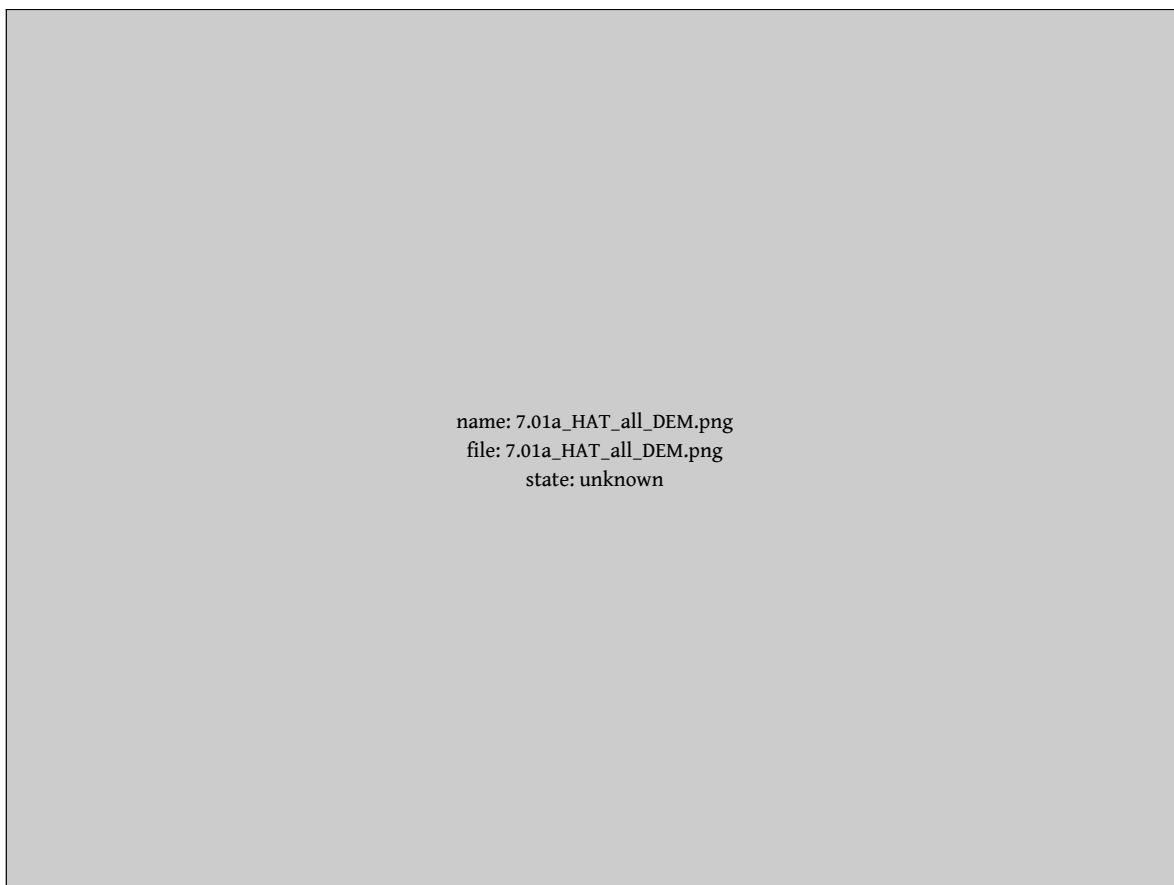
**Obrázek 3.24** Přehled epigrafické produkce v jednotlivých stoletích dle šíře datace nápisů (nápisy datované do jednoho vs. dvou století).



**Obrázek 3.25** Srovnání epigrafické produkce v jednotlivých stoletích v závislosti na typologii nápisu.




**Obrázek 3.26** Srovnání epigrafické produkce soukromých nápisů v jednotlivých stoletích v závislosti na šíři datace.



**Obrázek 3.27** Rozmístění nálezových míst nápisů v závislosti na jejich nadmořské výšce (DEM - digital elevation model).



**Obrázek 3.28** Rozmístění nálezových míst všech nápisů a jejich vzdálenost od městských center (do 20 km, do 40 km od daného centra).



name: 7.03a\_HAT\_all\_buffer\_roads\_names.png  
file: 7.03a\_HAT\_all\_buffer\_roads\_names.png  
state: unknown

**Obrázek 3.29** Rozmístění nálezových míst všech nápisů a jejich vzdálenost od římských cest - silnic (do 10 km od dané silnice).




**Obrázek 3.30** Hustota výskytu nálezových míst nápisů a jejich relativní poloha vůči městským centrům a římským cestám - silnicím.






**Obrázek 3.31** Mapa hlavních produkčních center nápisů dle celkového počtu nalezených nápisů v okruhu do 20 km od daného produkčního centra městského typu.



name: 7.06a\_NonUrban\_Productioncenters\_5kmbuffer\_scale.png  
file: 7.06a\_NonUrban\_Productioncenters\_5kmbuffer\_scale.png  
state: unknown

**Obrázek 3.32** Mapa hlavních produkčních center nápisů dle celkového počtu nalezených nápisů v okruhu do 20 km od daného produkčního centra jiného než městského typu.



name: 7.07a\_Cities\_buffer\_public\_inscriptions\_NEW.png  
file: 7.07a\_Cities\_buffer\_public\_inscriptions\_NEW.png  
state: unknown

**Obrázek 3.33** Rozmístění nálezových míst veřejných nápisů a jejich vzdálenost od městských center (do 20 km, do 40 km od daného centra).



**Obrázek 3.34** Rozmístění nálezových míst datovaných milníků a jejich vzdálenost od městských center (do 20 km od daného centra).



**Obrázek 3.35** Rozmístění nálezových míst soukromých nápisů a jejich vzdálenost od městských center (do 20 km, do 40 km od daného centra).



**Obrázek 3.36** Rozmístění nálezových míst funerálních nápisů a jejich vzdálenost od městských center (do 20 km od daného městského centra a do 10 km od římských cest - silnic).



**Obrázek 3.37** Hustota výskytu nálezových míst funerálních nápisů a jejich relativní poloha vůči městským centrům a římským cestám - silnicím.



**Obrázek 3.38** Rozmístění nálezových míst dedikačních nápisů v závislosti na jejich nadmořské výšce (DEM - digital elevation model).